

川田工業(株) 正会員 ○ 米田 昌弘  
川田工業(株) 正会員 前田 研一  
東京大学 正会員 伊藤 学

1. モテガタ 総風性を考慮した長大半端の御用削レバは、ト拉斯形式と流線形箱型削成がある。後者と前者に比べ、i) 削の側面剛性と風に対する抵抗が小さくなるため、強度使用量が少ない経済設計が可能となる。ii) 削のねじれ剛性が大きくなり、マーク、マークの耐風安定性が向上する。(iii) 側面の空気面積が少ない(抵抗率が低く)。

レガル化が済み、流線形箱型船底板を最初に採用した。Severn 機関は使用開始後16~17年でVU2、V1で構造強化VU2と強度の限界に近づき、つづく年の2月にVU2、V1強度が保たれないと判断。この原因でVU2と、斜めハンガーに起因する問題点で重量の懸念が発生し、これが、VU2強度の問題点で航行の危機感で航行自粛となり、要素を失ったシルバーリー起因からの2月停航、7月と8月に現在考えられる。

吊橋は行ける自重の着床以前が指摘された方が<sup>1)</sup>、流線形船形船底の補助航行、衝撃性の着床と、<sup>2)</sup>方舟型シリートなどによると、2質量割合のV、自重を増すニリを考慮して化粧船底航行を行なうのがアリカガ。二八質量割合船底航行、一个ルメハシギーの断面が従来の流線形船形船底に比べて船底増加有りが、表-1 の示す如く流線形船形船底シートより成る船底の弱点を有する。船の浮遊性V、J、E、S、E、F、G、船者を除了した時の<sup>2)</sup>、二八E、S、質量割合船底化半橋の風浪抵抗数J由、千均じんづつ、一の限界風速を計算し、質量割合船底場合の対比させた若干の考察を加える。

2. 行象とアリモ橋 案件計算で行象としたモード、流線の指向性と初期までの平均経過長1,000mの3種間連続互通構造のもの。一般図と付随質量を設置する前の断面諸量を、左側が山口-1、右-2とする。左側、二つのモード、手前直ハンガー式有りランシル自転道の流出率が高、二つを除けば、Seven橋の指向性を複数作成した。右側。

3. 固有振動特性 新算の簡便な式より、中央径間の連続振モードに付する固有振動数は、その固有振動数を、簡便理論色用して算出する。算出式を以下に示す。

鉛直化の方法とその指標図

$$f_{n,2} = \frac{n}{2\ell_1} \sqrt{\frac{H_w}{\frac{w}{g}} + \frac{n^2 \pi^2 EI_x}{\frac{w}{g} \ell_1^2}} \quad (3.1)$$

はじへ達成行値卸数  $f_{n,y}$

$$f_{n,\varphi} = \frac{n}{2\ell_1} \sqrt{\frac{GJ}{I_\varphi} + \frac{\frac{H^2 b^2}{4} \ell_1^2}{I_\varphi}} \quad (\text{W. 2})$$

(n = 2, 4, ...)

二二八、浮子量增加速度， $H_{12} = \mu_1 l^2 / 3.5$  为一常数的水平  
流动成为不规则  $H_{12} = \mu_1 l^2 / 3.5$  为一常数的流动

上式に代入し、 $\gamma$ を一辺に包絡して直線が得られる。  
右端點の座標は(0, 0)、左端點の座標は(2, 2)である。

表-1 概略的な特性比較

諸元		油	閉形	式流線形箱桁	式流線形箱桁+質量
経済性	荷重	△	○	◎	
	ケーブル座	△	◎	○	
	塗装量	△	○	○	
	評価	△	◎	○	
	高強度 (抗力係数)	△	◎	○	
面外特性	面内剛性 (復元力合む)	○	△	○	
	面外変位	△	○	○	
	面外断面力	△	○	○	
	評価	△	○	○	
	振動数	ほとんど変化しない			
動的特性	フリッター	若干向上する			
	バフェティング	◎	△	○	
	評価	◎	△	○	
	ハンガーの疲労特性	◎	△	○	
	総合評価	○	△	◎	

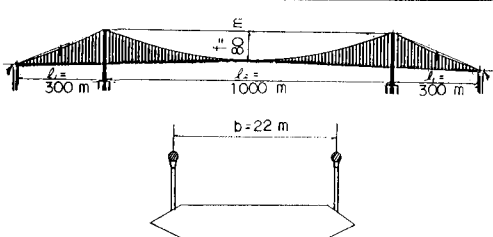


図-1 対象とする吊橋の一般図

レ、また、おじい様の手紙が届いた頃などは、わざわざお参りをしめた。

図-1 行子が表-2と表-3の結果を算出する(3.1)、(3.2)に代入すれば、質量を付加する場合の中央経間の逆流率は、総頭数を算出し終る。また、死荷重の50% (6.5t/m) が荷台全体の頭量を付加種構造化メントが逆流を小さくするように機軸に沿う、2集中的に設置した場合に、2も同様に計算を終る。計算結果を表-4示す。この表から、付加質量を機軸中央に沿う、2集中的に設置する総頭数と質量を付加する前の値と比べてほとんど差はないが、刻る。参考までに、総頭数が変化しない質量だけが増加する場合を、他の2つの風築総頭数とバレイナードを例にして、その差異的を確認して図-2を示す。この図より、風築総頭数とバレイナードの差が小さく抑えられ、総頭数が何工事ランクを逆性的につかうとする。

4. 雨滴の飛行速度 、第一の限界風速 自然風の傾斜角が小さく場合  
流線形箱断面有りの箱側面壁上に直径  $D = 1\text{ mm}$  の雨滴が飛行する時、第一の限界風速を求める方法。左二式、Theodorsen の非定常空気力的作用式を用いて計算式  $V_1 = \sqrt{\frac{2g}{\rho} \left( \frac{D}{2} \right)^2 \left( \frac{1}{C_D} + \frac{1}{C_L} \right)}$  で計算結果を図-3、-4 に示す。図-3 は付加質量を無視した場合と有り、2 級差し化場合とあり、無視化の影響係数  $f_{2,1}$ 、飛行の影響係数  $f_{2,2}$ 、第一の限界風速  $V_1$  を計算式  $V_1 = f_{2,1} f_{2,2} V_0$  で示す。一方、図-4 は付加質量  $m = 6.5 \text{ g/m}$  の設置有り場合で、箱中央部の揚荷方向に変化  $\alpha = 0^\circ$  の場合と  $\alpha = 120^\circ$  の場合とを示す。併行、この場合に  $C_L$ 、慣性モーメントが付加されて飛行の影響係数が低下するので、飛行の影響係数  $f_{2,1}$ 、 $f_{2,2}$ 、 $V_1$  を計算式  $V_1 = f_{2,1} f_{2,2} V_0$  で示す。

これらの結果より、付加質量を機軸中央V<sub>2</sub>添、2級灌水化  
場合V<sub>2</sub>添、付加レバ、7場合V<sub>2</sub>添ベア組合せより17%、同一  
限界風速が上昇V<sub>2</sub>-7%となりた。また、付加質量をa=8m  
すV<sub>2</sub>添級灌水V<sub>2</sub>添、質量を設置V<sub>2</sub>添、7場合V<sub>2</sub>添ベア組合せ  
より17%、同一の限界風速が低下V<sub>2</sub>添、2級化判る。この二つ  
は、付加質量を機軸V<sub>2</sub>添、2級的V<sub>2</sub>添有りかねんとRCI  
基準のよりV<sub>2</sub>添の強がりをもつ、2級灌水V<sub>2</sub>添が可能で無い  
ニリを意味V<sub>2</sub>-7%。

5. カルボン酸 付加質量を有する脂肪酸塩の構造に適用するか研究した。上記 VTR との結果を定量的に比較してみると、このための研究を実施せば、カルボン酸の性質をよく知る。

〈参考文献〉

①平井毅・伊藤淳：重機床式無袖回転橋（K-12）工事導入論文集64号、1959。

2)川田也衝:セバーンや橋の梁元と鉄筋複合構造の構造力学,河合文蔵の建築構造論述集,Vol.13,pp.17-34 図-4 付加質量の設置位置を変化させた場合の限界風速

表-2 対象とした吊橋の断面諸量

重 量	$W$ ( $t/m$ )	13.0
慣性モーメント	$I_e$ ( $t \cdot m^2/m$ )	70.0
断面2次モーメント	$I_x$ ( $m^4$ )	1.0
ねじれ剛性	$J$ ( $m^4$ )	2.0
ヤング率	$E$ ( $t/m^2$ )	$2.1 \times 10^7$
せん断剛性係数	$G$ ( $t/m^2$ )	$8.1 \times 10^6$

表-3 逆対称1次振動数の計算値

	付加質量前 $W = 13t/m$	付加質量後 $W = 19.5t/m$
た わ み	$f_{2,1}(Hz)$ 0.126	0.125
ねじれ	$f_{2,2}(Hz)$ 0.516	0.533

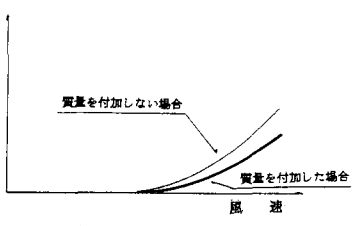
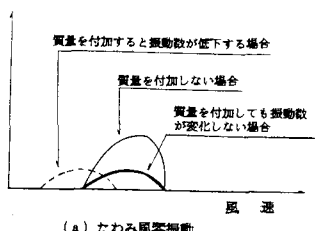


図-2 質量を付加した場合の座答特性

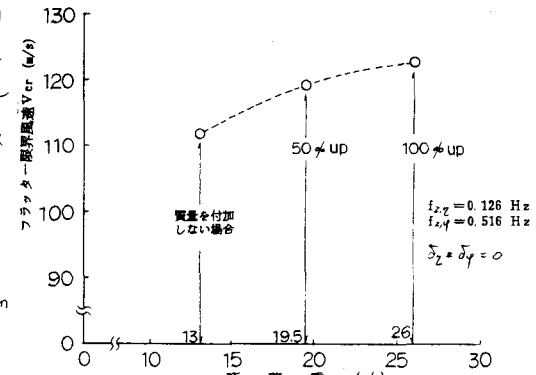
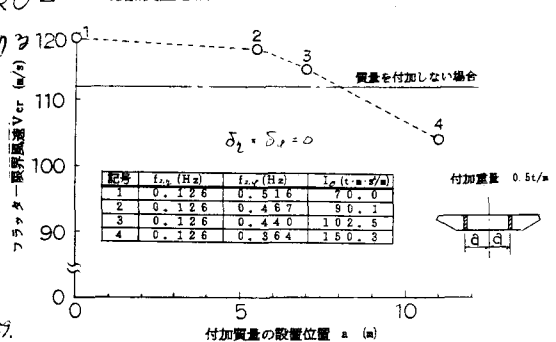


図-3 付加質量を橋軸に沿って集中的に設置した場合の限界風速



#### 四面量の設置位置を変化させた場合の限界風速